

渐开线齿形放大图的画法

国防工业出版社

渐开线齿形放大图的画法

柏永新 编 青 羽 校

国防工业出版社

1973

内 容 简 介

在设计、加工和测量圆柱、圆锥齿轮时，经常需要计算和绘制渐开线齿形放大图。本书介绍了渐开线齿形的三种坐标计算方法和放大图的绘制方法，为简化计算，书中列入了计算用数表，并举例说明。对在加工中应用圆弧代替渐开线齿形，也介绍了正确的计算方法。本书可供工厂技术人员及大专院校师生参考。

渐开线齿形放大图的画法

(只限国内发行)

柏永新 编 青 羽 校

国防工业出版社 出版

北京市书刊出版业营业登记证字第074号

新华书店北京发行所发行 各地新华书店经售

国防工业出版社印刷厂印装

850×1168 1/32 印张 5 5/8 143 千字

1973年10月第一版 1973年10月第一次印刷 印数：00,001—25,000册

统一书号：15034·1339 定价：0.60元

目 录

符号说明	5
常用表格目次	6
一 概述	7
二 极座标法绘制齿形放大图	8
1 原理与计算	8
2 绘制方法	21
3 计算实例	23
三 原点取在渐开线起始点的直角座标法绘制齿形放大图	28
1 直角座标的计算	28
2 用制图工具绘制齿形放大图	35
3 在万能显微镜或工具显微镜上绘制齿形放大图	42
4 误差分析	44
5 计算实例	46
四 原点取在分度圆上直角座标法绘制齿形放大图	50
1 直角座标的计算	50
2 绘制方法	58
3 绘制虚线齿形公差带的方法	68
4 误差分析	70
5 计算实例	72
五 斜齿圆柱齿轮齿形放大图的绘制	74
1 原点取在渐开线起始点的直角座标法	74
2 原点取在分度圆上的直角座标法	75
3 计算实例	82
六 直齿圆锥齿轮齿形放大图的绘制	86
七 渐开线花键齿形放大图的绘制	90
八 测量圆锥齿轮齿形直角座标的计算	96

九 圆弧代替渐开线齿形的计算	110
附录一 齿轮传动的几何计算	120
1. 直齿圆柱齿轮传动的几何计算	120
2. 斜齿圆柱齿轮传动的几何计算	121
3. 直齿圆锥齿轮传动的几何计算	123
附录二 角度和弧度对照表	125
附录三 斜齿圆柱齿轮的基圆半径表	127
附录四 渐开线的极坐标函数 $\text{invr } \xi$	155

符 号 说 明

C	径向间隙	r_{oy}	引用基圆半径
D_e	齿顶圆直径	r	齿根圆弧半径
D_{ey}	引用齿顶圆直径	s	距离
D_i	齿根圆直径	s_f	分度圆弧齿厚
D_{iy}	引用齿根圆直径	s'_f	分度圆弦齿厚
d_f	分度圆直径	x	展开弧长
d_{fy}	引用分度圆直径	z	齿数
d_o	基圆直径	z_y	引用齿数
d_{oy}	引用基圆直径	α_f	分度圆压力角
e	偏心	α_{fn}	法向分度圆压力角
F	面积	α_{fs}	端面分度圆压力角
f	齿顶高系数	α_e	齿顶圆压力角
h	齿高	α_i	齿根圆压力角
h_e	齿顶高	α_x	齿形上任意点压力角
h_i	齿根高	β_e	齿顶圆螺旋角
h_{je}	分度圆弦齿顶高	β_f	分度圆螺旋角
h_{ji}	分度圆弦齿槽根高	β_0	基圆螺旋角
M	放大图放大倍数	γ	齿距角
m	模数	Δ	误差、偏差
m_n	法向模数	δ	公差、偏差
m_s	端面模数	θ_s	分度圆弧齿厚对的圆心角
R_e	齿顶圆半径	θ_x	渐开角
R_{ey}	引用齿顶圆半径	ξ	变位系数、渐开线的极座标函数
R_m	圆心圆半径	ρ	曲率半径、展开弧长
R_{pz}	与齿条啮合的工作圆半径	φ	展开角
R_t	齿根圆半径	φ_x	任一点展开角
R_{tv}	引用齿根圆半径	ψ_f	分度圆锥角
R_x	动径、向量半径	ω_{z1}	基圆弧齿厚所对圆心角之半
r_f	分度圆半径	ω_B	基圆弧齿槽宽所对圆心角之半
r'_f	绘图圆半径		
r_{fy}	引用分度圆半径		
r_0	基圆半径		

常用表格目次

表 1	用极座标法绘制齿形放大图的应用数值	12
表 2	$r_0 = 1$ 与 R_x/r_0 相对应的展开角 φ 及展开弧长 $x(\rho)$	16
表 5	渐开线齿形直角座标值 ($r_0 = 1$ 毫米, $\alpha_f = 20^\circ$)	31
表 6	x 座标的最大值和最小值	34
表 7	$R = 1$ 圆弧直角座标值	36
表 8	渐开线起始点在基圆上以直角座标法绘制齿形放大图时分度圆盘调整参数的计算	43
表12	坐标原点在分度圆上渐开线齿形的直角座标值 ($r_f = 1$ 毫米, $\alpha_f = 14.5^\circ, 20^\circ, 30^\circ$)	52
表13	坐标原点在分度圆上渐开线齿形的直角座标值 ($r_f = 1$ 毫米, $\alpha_f = 20^\circ$)	55
表14	不同齿数的最大、最小半径比 ($R_e/r_f, R_f/r_f$)	57
表15	坐标原点在分度圆上以直角座标法绘制齿形放大图时, 分度圆盘调整参数的计算	60
表16	坐标原点在分度圆上绘制齿形放大图时分度圆盘的调整参数	61
表19	斜齿圆柱齿轮基圆螺旋角 β_0 和端面分度圆压力角 α_{fs} 数值	76
表25	渐开线齿形的切线极座标 ($\alpha_f = 20^\circ, r_f = 1$ 毫米)	97
表26	计算渐开线齿形直角座标的辅助参数 ($m = 1$ 毫米, $\alpha_f = 20^\circ$)	99
表28	渐开线齿形直角座标的计算 ($m = 0.7$ 毫米, $z_v = 39.59797$)	107
表30	基圆弧齿槽宽所对的圆心角之半 $\omega_B(\alpha_f = 20^\circ)$	113
表31	用圆弧代替渐开线时的齿形误差 ($\Delta J = 2r_0 \operatorname{inv} \delta, m = 1$ 毫米)	116
表32	圆弧代替渐开线试算表	118

一 概 述

齿形放大图是投影比较测量齿轮齿形时的标准，投影比较法是将齿形放大 20~100 倍，以反射光或透射光投影在受光屏上，而与受光屏上的标准齿形放大图相比较而测量齿形误差的方法。这种方法在工厂实际工作中应用的较广泛，因为这种方法测量效率高，并能测量模数在 0.4 毫米以下的齿轮的齿形。在测量轮齿左右面齿形时，应以齿根圆或齿顶圆作为测量基准。其齿形误差也可利用投影仪的测微装置或专用玻璃刻尺测量。

通常用投影比较法可以测量按机标 JB305-67 所规定的 7 级和 7 级以下精度的齿轮。但必须指出，这种方法可靠性低，如果调整或操作不当，其测量误差的变动范围有时可达 5~20 微米。尤其在测量斜齿圆柱齿轮和花键轴时，其测量条件更差，因此，要使投影比较法能可靠地测量 7 级和 7 级精度以下的齿轮，还必须从各个方面注意减少影响测量精度的各因素，以提高其测量齿形的精度。

对于齿形放大图也应力求使其计算和绘制精确，在条件许可的情况下，应首先采用仪器或坐标镗床来绘制，测量时从提高对线精度方面考虑，应尽可能绘制成为虚线构成的渐开线齿形。

二 极座标法绘制齿形放大图

用极座标法绘制齿形放大图，能画出全部由虚线构成的齿形，使在投影测量时，对线比较清晰，其计算和绘制过程也较简单，并能在万能显微镜、大工具显微镜或座标镗床上绘制由1~3齿组成的齿形放大图，但当用分度圆盘中心通过基圆的方法时，尚无现成的应用数表。

1 原理与计算

如图1所示，当直线NN'以逆时针方向沿圆周滚动时，其上一点的轨迹即是渐开线MM'。此运动也可看成如图2所示的圆和直线之间的相对运动。设圆上的 a_1 点和直线上的 a_2 点在 a 点重合，当圆以顺时针方向转动，而直线NN'向右移动时，圆上的 a_1 点依次转至位置 $b_1, c_1, d_1, e_1, \dots$ ，直线上的 a_2 点依次移至位置 $b_2, c_2, d_2, e_2, \dots$ 。 a 点的运动轨迹 e_1e_2 即是渐开线。并且 $\overset{\frown}{a_1b_1} = a_2b_2, \overset{\frown}{a_1c_1} = a_2c_2, \dots$ 。即为用极座标法（也称展成法）画齿形的原理。

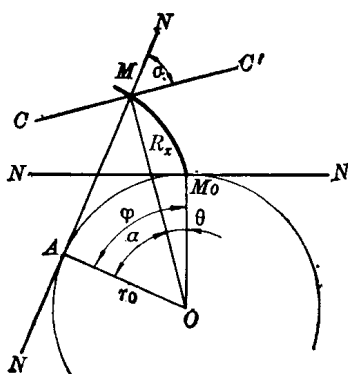


图 1

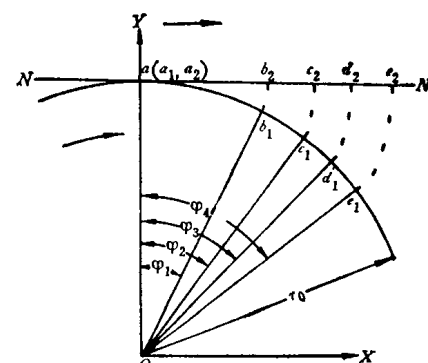


图 2

利用万能显微镜或大工具显微镜绘制放大图时，应使齿轮基圆圆心与分度圆盘中心相重合，然后在渐开线起始位置 a 点用划针在 y 轴方向划一短线，再使放大图板以顺时针方向转动角度 φ_1 ，划针向右移动距离 $x_1 = a_2 b_2 = r_0 \varphi_1$ ，在此位置再划一短线，使圆依次转动角度 φ_2 、 φ_3 ……，划针依次向右移动距离 $x_2 = a_2 c_2 = r_0 \varphi_2$ 、 $x_3 = a_2 d_2 = r_0 \varphi_3$ ……。即可划出形成渐开线的一系列短线。

如上所述，用此法画齿形放大图时，必须具备两个运动：即放大图板的转动和划针的移动。在大工具显微镜、万能显微镜或座标镗床上绘制齿形放大图时，划针被固定在显微镜的物镜或座标镗床的主轴上，在万能显微镜或大工具显微镜上划针是不能移动的，而以分度圆盘的相对移动来实现，即分度圆盘除了以顺时针方向转动之外，还需向左作相应的移动。

绘制放大图时，一般应在齿形工作部分内选取 10~15 个点（如放大倍数很大时，点数应相应增加），各点沿齿形应分布均匀●。为此目的，本应按渐开线的弧长取点，但这会使计算复杂。因此，

● 通常按一等值的展开角 φ_x 的倍数来选取，但这样所得的点沿齿形分布不均匀。渐开线的弧长，虽然随着展开角的增大而增大，但弧长相对于展开角的增大量在齿根部分小，在齿顶部分则较大。

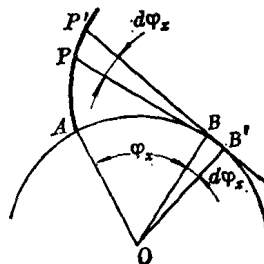
如右图所示，当展开角 φ_x 有一增量 $d\varphi_x$ 时，渐开线弧长的增量 dl 为：

$$dl = \widehat{PP'} = BPd\varphi_x = \widehat{AB}d\varphi_x = r_0 \varphi_x d\varphi_x$$

渐开线弧长的增大量 Δl 与展开角的增大量 $\Delta \varphi_x$ 之间的关系，可用下式表示：

$$\Delta l \approx r_0 \varphi_x \Delta \varphi_x$$

式中由于 φ_x 的变动范围较大， Δl 的变动则将更大。与齿形工作部分相当的展开角范围为 $3^\circ \sim 38^\circ$ ($0.052 \sim 0.663$ 弧度)，则弧长增大量的变动范围为 $\Delta l \approx 0.052r_0 \Delta \varphi_x \sim 0.663r_0 \Delta \varphi_x$ ，由此式可知，弧长增大量在齿顶和齿根相差达十余倍，即如按一等值 φ_x 的倍数选取各点，则所画齿形放大图的短线的间隔相差十余倍。



这里介绍沿齿形分布比较均匀按半径比取点的方法。

应用此法时，为确定所画齿形的范围，可先算出齿顶圆半径和基圆半径之比 $\frac{R_e}{r_0}$ ，以及齿根圆半径和基圆半径之比 $\frac{R_i}{r_0}$ 。比值分别按下式计算：

$$\frac{R_e}{r_0} = \frac{z + 2}{z \cos \alpha_f}$$

$$\frac{R_i}{r_0} = \frac{z - 2.5}{z \cos \alpha_f} \quad (\text{当 } h_i = 1.25m \text{ 时})$$

$$\frac{R_i}{r_0} = \frac{z - 2.7}{z \cos \alpha_f} \quad (\text{当 } h_i = 1.35m \text{ 时})$$

式中 z —— 齿轮齿数；

α_f —— 分度圆压力角。

半径比仅与齿数有关，其值可按表 1 查得。从表 1 查得最大和最小半径比之后，在这两个半径比之间选取 $10 \sim 15$ 个等差的比值 $\frac{R_x}{r_0}$ ，再按下式计算与此比值相对应的展开角 φ 和展开弧长 x （即图 2 中的 $a_2b_2, a_2c_2, a_2d_2, \dots$ ）

$$\varphi = \alpha_x + \operatorname{inv} \alpha_x$$

● 按半径比取点时，弧长的增大量在齿形工作部分内也是变动的，但变动范围较小。从渐开线起始点至其上任一点之间的弧长 l 为：

$$l = \int_0^{\varphi_x} r_0 \varphi_x d\varphi_x = \frac{1}{2} r_0 \varphi_x^2$$

$$\text{式中 } \varphi_x = \operatorname{tg} \alpha_x, \varphi_x^2 = \operatorname{tg}^2 \alpha_x = \frac{1}{\cos^2 \alpha_x} - 1 = \left(\frac{R_x}{r_0} \right)^2 - 1$$

$$\text{则 } l = \frac{1}{2} r_0 \left[\left(\frac{R_x}{r_0} \right)^2 - 1 \right]$$

而弧长的增大量与半径比的增大量之间的关系，可近似地用下式表示：

$$\Delta l \approx r_0 \left(\frac{R_x}{r_0} \right) \Delta \left(\frac{R_x}{r_0} \right)$$

由于 $\frac{R_x}{r_0}$ 的变动范围较小，一般在 $1 \sim 1.241$ 之间，故 Δl 的变动范围也较小。

即按半径比取点，沿齿形的分布基本上是均匀的。

$$x = \rho = -\frac{2\pi r_0}{360} \varphi$$

式中 α_x ——齿形上所取点的压力角

$$\cos \alpha_x = -\frac{r_0}{R_x};$$

R_x ——齿形上所取点的半径。

当齿轮的齿数少于 42 (如 $h_i=1.35m$, 则为 46) 时, 基圆大于齿根圆, 这时可取最小半径比等于 1。

为了便于计算, 根据上列公式所算出的, 当 $r_0=1$ 时与不同半径比 $\frac{R_x}{r_0}$ 相对应的展开角 φ 及其展开弧长 x 值列于表 2。从表 2 中所查得的 x 值乘以所画齿轮的基圆半径 r_0 和放大倍数 M , 即得放大图上各点的移动距离 xr_0M , 之后按所得的 φ 、 xr_0M 、 $y=r_0M$ 绘制第一侧齿形。

在一侧齿形画好之后, 需将分度圆盘退回到原始位置, 并以此位置转动一个基圆弧齿厚所对的圆心角 $2\omega_{z1}$, 即可画另一侧齿形。对于非变位齿轮, $2\omega_{z1}$ 可按下式计算 (图 3):

$$2\omega_{z1} = 2 \left(\frac{\pi}{2z} + \operatorname{inv} \alpha_i \right)$$

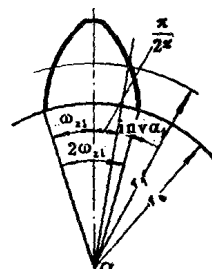


图 3

式中 ω_{z1} ——基圆弧齿厚所对圆心角之半, 其值可由表 1 查出。

$$\begin{aligned} \text{对于变位齿轮应将表中所查得的数值加上 } & \frac{2\xi}{z} \operatorname{tg} \alpha_i \\ & = 0.72794 - \frac{\xi}{z} \quad (\xi \text{ 为变位系数}) \end{aligned}$$

画第二个齿的齿形时, 需将分度圆盘自原始位置转动一个齿距角 $\gamma = \frac{2\pi}{z}$, 其值可从表 16 第三排 ($\psi_\gamma = \gamma$) 查得。

上述方法, 应用范围是有限的, 如仪器或机床的分度圆盘直径为 400 毫米, 则可能绘制放大图的被测齿轮, 其直径最大不超过 $\frac{400}{M}$ 毫米。

表1 用极座标法绘制齿形放大图的应用数值

z	$m = 1$ 毫米时 的基圆半径 r_0 (毫米)	最 大 半径比 R_e/r_0	最小半径比 R_i/r_0		基圆弧齿厚所对圆心角之半 ω_{z1}	
			$h_i = 1.25m$	$h_i = 1.35m$	度	弧度
12	5.6381556	1.241			8°21'14"	0.145804
13	6.1080019	1.227			7°46'38"	0.135735
14	6.5778482	1.216			7°16'57"	0.127104
15	7.0476945	1.206			6°51'14"	0.119624
16	7.5175408	1.197			6°28'44"	0.113079
17	7.9873871	1.189			6° 8'53"	0.107304
18	8.4572334	1.182			5°51'14"	0.102171
19	8.9270797	1.176			5°35'27"	0.097578
20	9.3969260	1.171			5°21'14"	0.093444
21	9.8667723	1.166			5° 8'23"	0.089704
22	10.3366186	1.161			4°56'42"	0.086304
23	10.8064649	1.157			4°46' 1"	0.083200
24	11.2763112	1.153			4°36'14"	0.080354
25	11.7461575	1.149			4°27'14"	0.077736
26	12.2160038	1.146			4°18'56"	0.075320
27	12.6859501	1.143			4°11'14"	0.073082
28	13.1556964	1.140			4° 4' 6"	0.071004
29	13.6255427	1.138			3°57'27"	0.069070
30	14.0953890	1.135			3°51'14"	0.067264
31	14.5652353	1.133			3°45'26"	0.065575
32	15.0350816	1.131			3°39'59"	0.063992
33	15.5049279	1.129			3°34'52"	0.062504
34	15.9747742	1.127			3°30' 4"	0.061104
35	16.4446205	1.125			3°25'31"	0.059784
36	16.9144668	1.123			3°21'14"	0.058538
37	17.3843131	1.122			3°17'11"	0.057358
38	17.8541594	1.120			3°13'21"	0.056241
39	18.3240057	1.119			3° 9'42"	0.055181
40	18.7938520	1.117			3° 6'14"	0.054174
41	19.2636983	1.116	1		3° 2'57"	0.053216
42	19.7335446	1.115	1.001		2°59'48"	0.052304
43	20.2033909	1.114	1.002		2°56'49"	0.051435
44	20.6732372	1.113	1.004		2°53'58"	0.050604
45	21.1430835	1.111	1.005	1	2°51'14"	0.049811
46	21.6129298	1.110	1.006	1.002	2°48'38"	0.049052
47	22.0827761	1.109	1.008	1.003	2°46' 8"	0.048326
48	22.5526224	1.109	1.009	1.004	2°43'44"	0.047629
49	23.0224687	1.108	1.010	1.006	2°41'27"	0.046961
50	23.4923150	1.107	1.011	1.007	2°39'14"	0.046320
51	23.9621613	1.106	1.012	1.008	2°37' 7"	0.045704
52	24.4320076	1.105	1.013	1.009	2°35' 5"	0.045112
53	24.9018539	1.104	1.014	1.010	2°33' 8"	0.044542
54	25.3717002	1.104	1.015	1.011	2°31'14"	0.043993
55	25.8415465	1.103	1.016	1.012	2°29'25"	0.043464
56	26.3113928	1.102	1.017	1.013	2°27'40"	0.042954
57	26.7812391	1.102	1.018	1.014	2°25'58"	0.042462
58	27.2510854	1.101	1.019	1.015	2°24'21"	0.041987
59	27.7209317	1.100	1.020	1.015	2°22'46"	0.041528
60	28.1907780	1.100	1.020	1.016	2°21'14"	0.041084

(续)

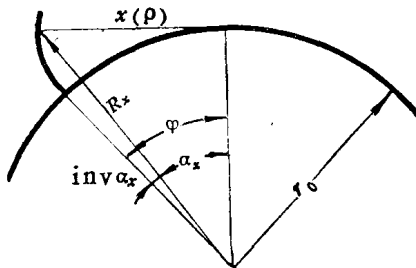
z	$m = 1$ 毫米时 的基圆半径 r_0 (毫米)	最 大 半径比 R_e/r_0	最小半径比 R_i/r_0		基圆弧凸厚所对圆心角之半 ω_{z1}	
			$h_i = 1.25m$	$h_i = 1.35m$	度	弧度
61	28.6606243	1.099	1.021	1.017	$2^\circ 19' 46''$	0.040655
62	29.1304706	1.099	1.021	1.018	$2^\circ 18' 20''$	0.040240
63	29.6003169	1.098	1.022	1.019	$2^\circ 16' 57''$	0.039839
64	30.0701632	1.097	1.023	1.019	$2^\circ 15' 37''$	0.039448
65	30.5400095	1.097	1.023	1.020	$2^\circ 14' 19''$	0.039070
66	31.0098558	1.096	1.024	1.021	$2^\circ 13' 3''$	0.038704
67	31.4797021	1.096	1.024	1.021	$2^\circ 11' 50''$	0.038349
68	31.9495184	1.095	1.025	1.022	$2^\circ 10' 39''$	0.038004
69	32.4193947	1.095	1.026	1.023	$2^\circ 9' 30''$	0.037670
70	32.8892410	1.095	1.026	1.023	$2^\circ 8' 23''$	0.037344
71	33.3590873	1.094	1.027	1.024	$2^\circ 7' 18''$	0.037028
72	33.8289336	1.094	1.027	1.024	$2^\circ 6' 14''$	0.036721
73	34.2987799	1.093	1.028	1.025	$2^\circ 5' 12''$	0.036422
74	34.7686262	1.093	1.028	1.025	$2^\circ 4' 13''$	0.036131
75	35.2384725	1.093	1.029	1.026	$2^\circ 3' 14''$	0.035848
76	35.7083188	1.092	1.029	1.026	$2^\circ 2' 18''$	0.035573
77	36.1781651	1.092	1.030	1.027	$2^\circ 1' 22''$	0.035304
78	36.6480114	1.091	1.030	1.027	$2^\circ 0' 28''$	0.035043
79	37.1178577	1.091	1.031	1.028	$1^\circ 59' 36''$	0.034788
80	37.5877040	1.091	1.031	1.028	$1^\circ 58' 44''$	0.034539
81	38.0575503	1.090	1.031	1.029	$1^\circ 57' 54''$	0.034297
82	38.5273966	1.090	1.032	1.029	$1^\circ 57' 5''$	0.034060
83	38.9972429	1.090	1.032	1.030	$1^\circ 56' 18''$	0.033830
84	39.4670892	1.090	1.033	1.030	$1^\circ 55' 31''$	0.033604
85	39.9369355	1.089	1.033	1.030	$1^\circ 54' 46''$	0.033384
86	40.4067818	1.089	1.033	1.031	$1^\circ 54' 1''$	0.033169
87	40.8766281	1.089	1.034	1.031	$1^\circ 53' 19''$	0.032960
88	41.3464744	1.088	1.034	1.032	$1^\circ 52' 36''$	0.032754
89	41.8163207	1.088	1.034	1.032	$1^\circ 51' 55''$	0.032554
90	42.2861670	1.088	1.035	1.032	$1^\circ 51' 14''$	0.032358
91	42.7560133	1.087	1.035	1.033	$1^\circ 50' 35''$	0.032166
92	43.2258596	1.087	1.035	1.033	$1^\circ 49' 56''$	0.031978
93	43.6957059	1.087	1.036	1.033	$1^\circ 49' 18''$	0.031795
94	44.1655522	1.087	1.036	1.034	$1^\circ 48' 41''$	0.031615
95	44.6353985	1.087	1.036	1.034	$1^\circ 48' 5''$	0.031439
96	45.1052448	1.086	1.036	1.034	$1^\circ 47' 29''$	0.031267
97	45.5750911	1.086	1.037	1.035	$1^\circ 46' 54''$	0.031098
98	46.0449374	1.086	1.037	1.035	$1^\circ 46' 20''$	0.030933
99	46.5147837	1.086	1.037	1.035	$1^\circ 45' 47''$	0.030771
100	46.9846300	1.085	1.038	1.035	$1^\circ 45' 14''$	0.030612
101	47.4544763	1.085	1.038	1.036	$1^\circ 44' 42''$	0.030457
102	47.9243226	1.085	1.038	1.036	$1^\circ 44' 11''$	0.030304
103	48.3941689	1.085	1.038	1.036	$1^\circ 43' 40''$	0.030155
104	48.8640152	1.085	1.039	1.037	$1^\circ 43' 9''$	0.030008
105	49.3338615	1.084	1.039	1.037	$1^\circ 42' 40''$	0.029864

(续)

z	$m = 1$ 毫米时 的基圆半径 r_0 (毫米)	最 大 半径比 R_e/r_0	最小半径比 R_i/r_0		基圆弧齿厚所对圆心角之半 ω_{z1}	
			$h_i = 1.25m$	$h_i = 1.35m$	度	弧度
106	49.8037078	1.084	1.039	1.037	$1^{\circ}42'11''$	0.029723
107	50.2735541	1.084	1.039	1.037	$1^{\circ}41'42''$	0.029585
108	50.7434004	1.084	1.040	1.038	$1^{\circ}41'14''$	0.029449
109	51.2132467	1.084	1.040	1.038	$1^{\circ}40'47''$	0.029315
110	51.6830930	1.084	1.040	1.038	$1^{\circ}40'20''$	0.029184
111	52.1529393	1.083	1.040	1.038	$1^{\circ}39'53''$	0.029056
112	52.6227856	1.083	1.040	1.039	$1^{\circ}39'27''$	0.028929
113	53.0926319	1.083	1.041	1.039	$1^{\circ}39'1''$	0.028805
114	53.5624782	1.083	1.041	1.039	$1^{\circ}38'36''$	0.028683
115	54.0323245	1.083	1.041	1.039	$1^{\circ}38'11''$	0.028563
116	54.5021708	1.083	1.041	1.039	$1^{\circ}37'47''$	0.028446
117	54.9720171	1.082	1.042	1.040	$1^{\circ}37'24''$	0.028330
118	55.4418634	1.082	1.042	1.040	$1^{\circ}37'$	0.028216
119	55.9117097	1.082	1.042	1.040	$1^{\circ}36'37''$	0.028104
120	56.3815560	1.082	1.042	1.040	$1^{\circ}36'14''$	0.027994
121	56.8514023	1.082	1.042	1.040	$1^{\circ}35'52''$	0.027886
122	57.3212486	1.082	1.042	1.041	$1^{\circ}35'30''$	0.027780
123	57.7910949	1.081	1.043	1.041	$1^{\circ}35'9''$	0.027675
124	58.2609412	1.081	1.043	1.041	$1^{\circ}34'47''$	0.027572
125	58.7307875	1.081	1.043	1.041	$1^{\circ}34'26''$	0.027471
126	59.2006338	1.081	1.043	1.041	$1^{\circ}34'6''$	0.027371
127	59.6704801	1.081	1.043	1.042	$1^{\circ}33'45''$	0.027273
128	60.1403264	1.081	1.043	1.042	$1^{\circ}33'26''$	0.027176
129	60.6101727	1.081	1.044	1.042	$1^{\circ}33'6''$	0.027081
130	61.0800190	1.081	1.044	1.042	$1^{\circ}32'46''$	0.026987
131	61.5498653	1.080	1.044	1.042	$1^{\circ}32'28''$	0.026895
132	62.0197116	1.080	1.044	1.042	$1^{\circ}32'9''$	0.026804
133	62.4895579	1.080	1.044	1.043	$1^{\circ}31'51''$	0.026715
134	62.9594042	1.080	1.044	1.043	$1^{\circ}31'32''$	0.026627
135	63.4292505	1.080	1.044	1.043	$1^{\circ}31'14''$	0.026540
136	63.8990968	1.080	1.045	1.043	$1^{\circ}30'57''$	0.026454
137	64.3689431	1.080	1.045	1.043	$1^{\circ}30'39''$	0.026370
138	64.8387894	1.080	1.045	1.043	$1^{\circ}30'22''$	0.026287
139	65.3086357	1.079	1.045	1.044	$1^{\circ}30'5''$	0.026205
140	65.7784820	1.079	1.045	1.044	$1^{\circ}29'48''$	0.026124
141	66.2483283	1.079	1.045	1.044	$1^{\circ}29'32''$	0.026045
142	66.7181746	1.079	1.045	1.044	$1^{\circ}29'16''$	0.025966
143	67.1880209	1.079	1.046	1.044	$1^{\circ}29'$	0.025889
144	67.6578672	1.079	1.046	1.044	$1^{\circ}28'44''$	0.025813
145	68.1277135	1.079	1.046	1.044	$1^{\circ}28'29''$	0.025737
146	68.5975598	1.079	1.046	1.045	$1^{\circ}28'13''$	0.025663
147	69.0674061	1.079	1.046	1.045	$1^{\circ}27'58''$	0.025590
148	69.5372524	1.079	1.046	1.045	$1^{\circ}27'44''$	0.025518
149	70.0070987	1.078	1.046	1.045	$1^{\circ}27'29''$	0.025447
150	70.4769450	1.078	1.046	1.045	$1^{\circ}27'14''$	0.025376

(续)

z	$m = 1$ 毫米时 的基圆半径 r_0 (毫米)	最 大 半 径 比 R_e/r_0	最小半径比 R_i/r_0		基圆弧齿厚所对圆心角之半 ω_1	
			$h_i = 1.25m$	$h_i = 1.35m$	度	弧度
151	70.9467913	1.078	1.047	1.045	1°27'	0.025307
152	71.4166376	1.078	1.047	1.045	1°26'46"	0.025239
153	71.8864839	1.078	1.047	1.045	1°26'32"	0.025171
154	72.3563302	1.078	1.047	1.046	1°26'18"	0.025104
155	72.8261765	1.078	1.047	1.046	1°26' 5"	0.025039
156	73.2960228	1.078	1.047	1.046	1°25'52"	0.024974
157	73.7658691	1.078	1.047	1.046	1°25'38"	0.024909
158	74.2357154	1.078	1.047	1.046	1°25'25"	0.024846
159	74.7055617	1.078	1.047	1.046	1°25'12"	0.024784
160	75.1754080	1.077	1.048	1.046	1°24'59"	0.024722
161	75.6452543	1.077	1.048	1.046	1°24'47"	0.024661
162	76.1151006	1.077	1.048	1.046	1°24'34"	0.024601
163	76.5849469	1.077	1.048	1.047	1°24'22"	0.024541
164	77.0547932	1.077	1.048	1.047	1°24'10"	0.024482
165	77.5246395	1.077	1.048	1.047	1°23'58"	0.024424
166	77.9944858	1.077	1.048	1.047	1°23'46"	0.024367
167	78.4643321	1.077	1.048	1.047	1°23'34"	0.024310
168	78.9341784	1.077	1.048	1.047	1°23'23"	0.024254
169	79.4040247	1.077	1.048	1.047	1°23'11"	0.024199
170	79.8738710	1.077	1.049	1.047	1°23'	0.024144
171	80.3437173	1.077	1.049	1.047	1°22'49"	0.024090
172	80.8135636	1.077	1.049	1.047	1°22'38"	0.024037
173	81.2834099	1.076	1.049	1.048	1°22'27"	0.023984
174	81.7532562	1.076	1.049	1.048	1°22'16"	0.023932
175	82.2231025	1.076	1.049	1.048	1°22' 6"	0.023880
176	82.6929488	1.076	1.049	1.048	1°21'55"	0.023829
177	83.1627951	1.076	1.049	1.048	1°21'45"	0.023779
178	83.6326414	1.076	1.049	1.048	1°21'35"	0.023729
179	84.1024877	1.076	1.049	1.048	1°21'24"	0.023680
180	84.5723340	1.076	1.049	1.048	1°21'14"	0.023631
181	85.0421803	1.076	1.049	1.048	1°21' 4"	0.023583
182	85.5120266	1.076	1.050	1.048	1°20'55"	0.023535
183	85.9818729	1.076	1.050	1.048	1°20'45"	0.023488
184	86.4517192	1.076	1.050	1.049	1°20'35"	0.023441
185	86.9215655	1.076	1.050	1.049	1°20'25"	0.023395
186	87.3914118	1.076	1.050	1.049	1°20'16"	0.023350
187	87.8612581	1.076	1.050	1.049	1°20' 7"	0.023304
188	88.3311044	1.076	1.050	1.049	1°19'58"	0.023260
189	88.8009507	1.075	1.050	1.049	1°19'48"	0.023215
190	89.2707970	1.075	1.050	1.049	1°19'40"	0.023172
191	89.7406433	1.075	1.050	1.049	1°19'30"	0.023128
192	90.2104896	1.075	1.050	1.049	1°19'22"	0.023086
193	90.6803359	1.075	1.050	1.049	1°19'13"	0.023043
194	91.1501822	1.075	1.050	1.049	1°19' 4"	0.023001
195	91.6200285	1.075	1.051	1.049	1°18'56"	0.022960
196	92.0898748	1.075	1.051	1.050	1°18'48"	0.022919
197	92.5597211	1.075	1.051	1.050	1°18'39"	0.022878
198	93.0295674	1.075	1.051	1.050	1°18'31"	0.022838
199	93.4994137	1.075	1.051	1.050	1°18'22"	0.022798
200	93.9692620	1.075	1.051	1.050	1°18'14"	0.022758

表 2 $r_0=1$ 与 R_s/r_0 相对应的展开角 φ 及展开弧长 $x(\rho)$ 

$$\text{展开角 } \varphi = \alpha_x + \text{inv} \alpha_x$$

$$\text{基圆中心到齿形上任意一点距离 } R_s = \frac{1}{\cos \alpha_x}$$

$$\text{展开弧长 } x = \rho = 0.01745329 \varphi$$

半径比 R_s/r_0	φ	$x(\rho)$	半径比 R_s/r_0	φ	$x(\rho)$	半径比 R_s/r_0	φ	$x(\rho)$
1.001	2°33'	0.044506	1.031	14°24'	0.251327	1.061	20°18'	0.354301
1.002	3°39'	0.063704	1.032	14°36'	0.254817	1.062	20°30'	0.357791
1.003	4°27'	0.077667	1.033	14°51'	0.259181	1.063	20°39'	0.360409
1.004	5° 9'	0.089884	1.034	15° 3'	0.262671	1.064	20°48'	0.363027
1.005	5°45'	0.100356	1.035	15°18'	0.267035	1.065	21°	0.366518
1.006	6°18'	0.109955	1.036	15°30'	0.270525	1.066	21° 9'	0.369136
1.007	6°48'	0.118682	1.037	15°45'	0.274888	1.067	21°18'	0.371754
1.008	7°15'	0.126536	1.038	15°57'	0.278379	1.068	21°30'	0.375245
1.009	7°42'	0.134390	1.039	16° 9'	0.281870	1.069	21°39'	0.377863
1.010	8° 6'	0.141371	1.040	16°21'	0.285360	1.070	21°48'	0.380481
1.011	8°30'	0.148353	1.041	16°33'	0.288851	1.071	21°57'	0.383099
1.012	8°54'	0.155334	1.042	16°48'	0.293214	1.072	22° 9'	0.386589
1.013	9°15'	0.161442	1.043	17°	0.296705	1.073	22°18'	0.389207
1.014	9°36'	0.167551	1.044	17°12'	0.300196	1.074	22°27'	0.391825
1.015	9°57'	0.173660	1.045	17°24'	0.303686	1.075	22°36'	0.394443
1.016	10°18'	0.179768	1.046	17°36'	0.307177	1.076	22°45'	0.397061
1.017	10°36'	0.185004	1.047	17°45'	0.309795	1.077	22°54'	0.399679
1.018	10°54'	0.190240	1.048	17°57'	0.313286	1.078	23° 3'	0.402297
1.019	11°12'	0.195476	1.049	18° 9'	0.316776	1.079	23°12'	0.404915
1.020	11°30'	0.200712	1.050	18°21'	0.320267	1.080	23°21'	0.407533
1.021	11°48'	0.205948	1.051	18°33'	0.323758	1.081	23°30'	0.410151
1.022	12° 6'	0.211184	1.052	18°42'	0.326376	1.082	23°39'	0.412769
1.023	12°21'	0.215547	1.053	18°54'	0.329866	1.083	23°48'	0.415387
1.024	12°39'	0.220783	1.054	19° 6'	0.333357	1.084	23°57'	0.418005
1.025	12°54'	0.225147	1.055	19°15'	0.335975	1.085	24° 6'	0.420623
1.026	13° 9'	0.229510	1.056	19°27'	0.339465	1.086	24°15'	0.423231
1.027	13°24'	0.233873	1.057	19°36'	0.342083	1.087	24°24'	0.425859
1.028	13°39'	0.238237	1.058	19°48'	0.345574	1.088	24°33'	0.428477
1.029	13°54'	0.242600	1.059	19°57'	0.348192	1.089	24°42'	0.431095
1.030	14° 9'	0.246963	1.060	20° 9'	0.351683	1.090	24°51'	0.433713